

บรรณานุกรม

- กรมควบคุมมลพิษและสมาคมวิศวกรรมสิ่งแวดล้อมแห่งประเทศไทย. 2546. เทคนิคการบำบัดเสียงทางวิธี การนำน้ำทิ้งมาใช้ประโยชน์ และการทดสอบพิษวิทยาสำหรับน้ำทิ้ง. เล่ม 4. กรุงเทพฯ: กรมควบคุมมลพิษ. 122 น.
- กรมควบคุมมลพิษ. 2548. สรุปสถานการณ์มลพิษของประเทศไทย พ.ศ. 2547. กรุงเทพฯ: กรมควบคุมมลพิษ. 48 น.
- กรมโรงงานอุตสาหกรรม. 2550. คู่มือการจัดการสิ่งแวดล้อมสำหรับอุตสาหกรรมพิมพ์ผ้า. กรุงเทพฯ: กรมโรงงานอุตสาหกรรม. 52 น.
- กัลยาณิ จิรศรีพงศ์พันธุ์. 2550. การกำจัดเสียงและสารก่อมะเร็งอะโรมาติกเคมีในน้ำทิ้งโดยจุลินทรีย์. 27(1): 1-19. แหล่งที่มา <http://opac.vru.ac.th/opacold/BibDetail.aspx> (20/3/54).
- เกรียงศักดิ์ อุดมสิน โภจน์. 2539. การบำบัดน้ำเสีย. กรุงเทพฯ: มิตรนราการพิมพ์. 442 น.
- จุฑารัตน์ หนูสุข. 2546. การใช้บีบีงประดิษฐ์แบบน้ำให้หลอดได้ผิดวินเพื่อการบำบัดขั้นที่สามสำหรับน้ำเสียจากโรงงานสกัดน้ำมันปาล์ม. วิทยานิพนธ์ปริญญาโท. จุฬาลงกรณ์มหาวิทยาลัย. 119 น.
- จุปัน ชื่นนาล. 2549. การบำบัดน้ำเสียและการใช้ดัชนีชีวภาพในการติดตามตรวจสอบผลกระทบจากอุตสาหกรรมย้อมผ้า. [ระบบออนไลน์]. แหล่งที่มา <http://www.researchgate.net/publication/31869165> (26/3/54).
- ประนัດดา เจริญราช. 2548. การบำบัดน้ำทิ้งจากการฟอกย้อมใหม่โดยใช้บีบีงประดิษฐ์. วิทยานิพนธ์ปริญญาโท. มหาวิทยาลัยขอนแก่น. 119 น.
- ปิยะนุตร โพธิ์คำบารุง. 2552. การลดความเข้มสีในน้ำากสารสำหรับใช้เชื้อเพลิงระหว่างเชื้อจุลินทรีย์ในกลุ่มเชื้อราน่าข่าวและเชื้อยีสต์. วิทยานิพนธ์ปริญญาโท. มหาวิทยาลัยแม่โจ้. 92 น.
- พวงเดือน ชุ่มศรี. 2549. ประสิทธิภาพการกำจัดในโครงเจนจากน้ำเสียฟาร์มสุกรของระบบบีบีงประดิษฐ์สมแบบน้ำให้หลอดได้ผิดวินแนวตั้งตามด้วยวนวนโดยใช้หลักการและหลักการ. วิทยานิพนธ์ปริญญาโท. มหาวิทยาลัยสุโขทัยธรรมธิราช. 171 น.
- รุจิรา ชัยศิริภาวรรณกุล. 2547. การบำบัดน้ำเสียจากการซักครีดด้วยการระบายน้ำเป็นครั้งคราวในระบบบีบีงประดิษฐ์แบบน้ำให้หลอดได้ผิดวินผ่านกรวยเทียนกับกรวยร่วน. วิทยานิพนธ์ปริญญาโท. มหาวิทยาลัยขอนแก่น. 184 น.

วรุณิ จิตหมายกษม. 2547. การประยุกต์ใช้ Constructed Wetland สำหรับบำบัดน้ำเสียชุมชน.

วิทยานิพนธ์ปริญญาโท. มหาวิทยาลัยพระจอมเกล้าธนบุรี. 204 น.

ศักดิ์ชัย อังคสิงห์. 2547. การบำบัดน้ำเสียบ้านเรือนโดยใช้บึงประดิษฐ์ที่มีการไหลได้ผิดนิร่วมกับระบบการระเหยโดยพืช. วิทยานิพนธ์ปริญญาโท. จุฬาลงกรณ์มหาวิทยาลัย. 199 น.

สมพล เปร่อมปราโมนร. 2547. การกำจัดในโครงเจนโดยใช้พืชต่างชนิดในระบบบึงประดิษฐ์แบบการไหลได้ดินแนวตั้ง. วิทยานิพนธ์ปริญญาโท. มหาวิทยาลัยเชียงใหม่. 117 น.

สุชาดา ศรีเพ็ญ. 2542. พวรรณไม่น้ำในประเทศไทย. กรุงเทพฯ: ออมรินทร์ บุ๊ค เซนเตอร์. 312 น.

สุบันฑิต นิมรัตน์. 2548. จุลชีววิทยาของน้ำเสีย. กรุงเทพฯ : จุฬาลงกรณ์มหาวิทยาลัย. 242 น.

สุรศักดิ์ นุ่มนิมิตร. 2550. การบำบัดน้ำเสียจากการผลิตเยื่อกระดาษสาโดยระบบบึงประดิษฐ์แบบผสมผสานที่มีการไหลได้ผิว. วิทยานิพนธ์ปริญญาโท. มหาวิทยาลัยเชียงใหม่. 120 น.

เสนีย์ กาญจนวงศ์. 2551. การบำบัดน้ำเสียอุดสาหกรรมในครัวเรือนผลิตกระดาษสาโดยระบบบึงประดิษฐ์แบบน้ำไหลใต้ผิว. [ระบบออนไลน์]. แหล่งที่มา

http://mis.eng.cmu.ac.th/research/view_research_detail.asp (26/3/54).

โสมวดี วร้าอัศวปติ และ . 2547. การกำจัดแอกเลอสโดยระบบบึงประดิษฐ์แบบน้ำไหลใต้ผิวน้ำในแนวราบ. วิทยานิพนธ์ปริญญาโท. มหาวิทยาลัยเชียงใหม่. 96 น.\

Ambrosio, S. T. and G. M. Campos-Takaki. 2004. Decolorization of reactive azo dyes by Cunninghamella elegans UCP 542 under co-metabolic conditions. **Bioresource Technology**. 91(1): 69-75.

Arias, C. A., M. Del Bubba and H. Brix 2001. Phosphorus removal by sands for use as media in subsurface flow constructed reed beds. **Water Research**. 35(5): 1159-1168.

Ayaz, S. C. And L. t. Akca. 2001. Treatment of wastewater by natural systems. **Environment International**. 26(3): 189-195.

Bragger, J. L., A. W. Lloyd and G. P. Martin. 1997. Investigations into the azo reducing activity of a common colonic microorganism. **International Journal of Pharmaceutics**. 157(1): 61-71.

Bulc, T. G. and A. Ojstrsek. 2008. The use of constructed wetland for dye-rich textile wastewater treatment. **Journal of Hazardous Materials**. 155(1-2): 76-82.

- Calheiros, C. S. C., A. n. O. S. S. Rangel and P. M. L. Castro. 2009. Treatment of industrial wastewater with two-stage constructed wetlands planted with *Typha latifolia* and *Phragmites australis*. **Bioresource Technology**. 100(13): 3205-3213.
- Cetin, D. and G. n. l. Donmez. 2006. Decolorization of reactive dyes by mixed cultures isolated from textile effluent under anaerobic conditions. **Enzyme and Microbial Technology**. 38(7): 926-930.
- Chang, J.-S. and T.-S. Kuo. 2000. Kinetics of bacterial decolorization of azo dye with *Escherichia coli* NO3. **Bioresource Technology**. 75(2): 107-111.
- Chang, J.-S., C. Chou and T. Lee Hu. 2001. Kinetic characteristics of bacterial azo-dye decolorization by *Pseudomonas luteola*. **Water Research**. 35(12): 2841-2850.
- Chen, K.-C., J.-Y. Wu and S.-C. J. Hwang. 2003. Decolorization of the textile dyes by newly isolated bacterial strains. **Journal of Biotechnology**. 101(1): 57-68.
- Environmental Protection Agency. 1993. Subsurface flow constructed wetlands for wastewater treatment. [Online]. Available <http://www.epa.gov/owow/wetlands/pdf/sub.pdf> (10/5/2553).
- Georgiou, D., C. Metallinou and K. Gimouhopoulos. 2004. Decolorization of azo-reactive dyes and cotton-textile wastewater using anaerobic digestion and acetate-consuming bacteria. **Biochemical Engineering Journal**. 19(1): 75-79.
- Ghermandi, A., D. Bixio. and C. Thoeye. 2007. The role of free water surface constructed wetlands as polishing step in municipal wastewater reclamation and reuse. **Science of The Total Environment**. 380(1-3): 247-258.
- Gingell, R. and R. Walker. 1971. Mechanisms of azo reduction by *Streptococcus faecalis*. II.The role of soluble flavins. **Xenobiotica**. 1(3):231–239.
- Hsueh, C.-C. and B.-Y. Chen. 2007. Comparative study on reaction selectivity of azo dye decolorization by *Pseudomonas luteola*. **Journal of Hazardous Materials** 141(3): 842-849.
- Isik, M. and D. T. Sponza. 2004. Monitoring of toxicity and intermediates of C.I. Direct Black 38 azo dye through decolorization in an anaerobic/aerobic sequential reactor system. **Journal of Hazardous Materials**. 114(1-3): 29-39.

- Jadhav, S. U., M. U. Jadhav and S. P. Govindwar. 2008. Decolorization of Brilliant Blue G dye mediated by degradation of the microbial consortium of *Galactomyces geotrichum* and *Bacillus* sp. **Journal of the Chinese Institute of Chemical Engineers.** 39(6): 563-570.
- Joshi, T., L. Iyengar and S. Garg. 2008. Isolation, identification and application of novel bacterial consortium TJ-1 for the decolourization of structurally different azo dyes. **Bioresource Technology.** 99(15): 7115-7121.
- Kalme, S. D., G. K. Parshetti and S. P. Govindwar. 2007. Biodegradation of benzidine based dye Direct Blue-6 by *Pseudomonas desmolyticum* NCIM 2112. **Bioresource Technology.** 98(7): 1405-1410.
- Karathanasis, A. D., C. L. Potter. and M. S. Coyne. 2003. Vegetation effects on fecal bacteria, BOD, and suspended solid removal in constructed wetlands treating domestic wastewater. **Ecological Engineering.** 20(2): 157-169.
- Khehra, M. S., H. S. Saini and S. S. Chimni. 2005. Decolorization of various azo dyes by bacterial consortium. **Dyes and Pigments.** 67(1): 55-61.
- Kim, S.-Y., J.-Y. An. and Kim, B.-W. 2008. The effects of reductant and carbon source on the microbial decolorization of azo dyes in an anaerobic sludge process. **Dyes and Pigments** 76(1): 256-263.
- Konnerup, D., T. Koottatep and H. Brix. 2009. Treatment of domestic wastewater in tropical, subsurface flow constructed wetlands planted with Canna and Heliconia. **Ecological Engineering.** 35(2): 248-257.
- Kyambadde, J., F. Kansiime and G. Dalhammar. 2004. A comparative study of *Cyperus papyrus* and *Misanthidium violaceum*-based constructed wetlands for wastewater treatment in a tropical climate. **Water Research.** 38(2): 475-485.
- Modi, H. A., G. Rajput and C. Ambasana. 2010. Decolorization of water soluble azo dyes by bacterial cultures, isolated from dye house effluent. **Bioresource Technology.** 101(16): 6580-6583.
- Neralla, S., R. W. Weaver and R. A. Persyn. 2000. Improvement of domestic wastewater quality by subsurface flow constructed wetlands. **Bioresource Technology.** 75(1): 19-25.

- Pearce, C. I., J. R. Lloyd and J. T. Guthrie. 2003. The removal of colour from textile wastewater using whole bacterial cells: a review. **Dyes and Pigments.** 58(3): 179-196.
- Robinson, T., G. McMullan and P. Nigam. 2001. Remediation of dyes in textile effluent: a critical review on current treatment technologies with a proposed alternative. **Bioresource Technology.** 77(3): 247-255.
- Sani, R. K. and U. C. Banerjee. 1999. Decolorization of triphenylmethane dyes and textile and dye-stuff effluent by *Kurthia* sp. **Enzyme and Microbial Technology** 24(7): 433-437.
- Seesuriyachan, P., S. Takenaka and K. Aoki. 2007. Metabolism of azo dyes by *Lactobacillus casei* TISTR 1500 and effects of various factors on decolorization. **Water Research.** 41(5): 985-992.
- Shaw, C. B., C. M. Carliell and A. D. Wheatley. 2002. Anaerobic/aerobic treatment of coloured textile effluents using sequencing batch reactors. **Water Research.** 36(8): 1993-2001.
- Supaka, N., K. Jun Tongjin and P. Strehaiano. 2004. Microbial decolorization of reactive azo dyes in a sequential anaerobic-aerobic system. **Chemical Engineering Journal.** 99(2): 169-176.
- Todorovics, C., T.M. Garay and Z. Bratek . 2005. The use of the reed (*Phragmites australis*) in wastewater treatment on constructed wetlands. **Acta Biologica Szegediensis** 49 (1-2): 81-83.
- Yoo, E. S., J. Libra and L. Adrian. 2001. Mechanism of decolorization of azo dyes in anaerobic mixed culture. **Journal Environment Engineering.** 127:844-849.
- Yu, J., X. Wang and P. L. Yue. 2001. Optimal Decolorization and Kinetic Modeling of Synthetic Dyes by *Pseudomonas* Strains. **Water Research.** 35(15): 3579-3586.
- Van, D. Z., R.H.M. F.P and J.A. Field. 2001 Application of redox mediators to accelerate the transformation of reactive azo dyes in anaerobic bioreactors. **Biotechnology Bioengineering.** 75(6):691-701.
- Vymazal, J. 2002. The use of sub-surface constructed wetlands for wastewater treatment in the Czech Republic: 10 years experience. **Ecological Engineering.** 18(5): 633-646.
- Vymazal, J. 2005. Horizontal sub-surface flow and hybrid constructed wetlands systems for wastewater treatment. **Ecological Engineering.** 25(5): 478-490.

Vymazal, J. 2007. Removal of nutrients in various types of constructed wetlands. **Science of**

The Total Environment. 380(1-3): 48-65.

Wang, H., X.-W. Zheng and T.-L. Zheng. 2009. Biological decolorization of the reactive dyes

Reactive Black 5 by a novel isolated bacterial strain Enterobacter sp. EC3. **Journal of Hazardous Materials.** 171(1-3): 654-659.

ภาคผนวก



ภาคผนวก ก
อาหารเลี้ยงเชื้อและวิธีการเตรียม

1.อาหารเหลวสูตร NB

Beef extract	3.0	กรัม
Peptone	5.0	กรัม

ละลายส่วนผสมข้างต้นด้วยน้ำกลั่นให้เป็นเนื้อเดียวกัน ปรับปริมาตรให้เป็น 1 ลิตร นำไปนึ่งฆ่าเชื้อที่อุณหภูมิ 121 องศาเซลเซียส ความดัน 15 ปอนด์ต่อตารางนิวตัน นาน 15 นาที

2.อาหารแข็งสูตร NA

Beef extract	3.0	กรัม
Peptone	5.0	กรัม
Agar (วุ้น)	15	กรัม

ละลายด้วยน้ำกลั่นให้เป็นเนื้อเดียวกัน ปรับปริมาตรให้เป็น 1 ลิตร เติมผงวุ้น 15 กรัม ต้มให้ผงวุ้นละลายเป็นเนื้อเดียวกัน นำไปนึ่งฆ่าเชื้อที่อุณหภูมิ 121 องศาเซลเซียส ความดัน 15 ปอนด์ต่อตารางนิวตัน นาน 15 นาที

3.อาหารแข็งสูตร NA ที่มีสี direct เป็นองค์ประกอบ

สี direct	0.2	กรัม
Beef extract	3.0	กรัม
Peptone	5.0	กรัม
Agar (วุ้น)	15	กรัม

ละลายด้วยน้ำกลั่นให้เป็นเนื้อเดียวกัน ปรับปริมาตรให้เป็น 1 ลิตร เติมผงวุ้น 15 กรัม ต้มให้ผงวุ้นละลายเป็นเนื้อเดียวกัน นำไปนึ่งฆ่าเชื้อที่อุณหภูมิ 121 องศาเซลเซียส ความดัน 15 ปอนด์ต่อตารางนิวตัน นาน 15 นาที

ภาคผนวก ข

การเตรียมสารเคมีและวิธีวิเคราะห์

การเตรียมสารเคมีและวิธีวิเคราะห์

1. การเตรียมสารละลายน้ำไฮโดรคลอริก (HCl) ความเข้มข้น 1 นอร์มอล
HCl จาก stock มีความเข้มข้น 37.0 เปอร์เซ็นต์ ซึ่งเท่ากับ 12.2 นอร์มอล

เตรียมสารละลายน้ำไฮโดรคลอริก (HCl) ความเข้มข้น 1 นอร์มอล ปริมาตร 100 มิลลิลิตร จากสารละลายน้ำไฮโดรคลอริก (HCl) ความเข้มข้น 12.2 นอร์มอล ดังนี้

$$\begin{array}{lcl} C_1 V_1 & = & C_2 V_2 \\ 1 \times 100 & = & 12.2 \times V_2 \\ V_2 & = & 8.20 \end{array}$$

ดังนั้น ไป配สารละลายน้ำไฮโดรคลอริก (HCl) ความเข้มข้น 12.2 นอร์มอล ปริมาตร 8.20 ลิตร มาผสมกับน้ำกลั่น และทำการปรับปริมาตรให้ได้ 100 มิลลิลิตร ด้วยน้ำกลั่น

2. การเตรียมสารละลายโซเดียมไฮดรอกไซด์ (NaOH) ความเข้มข้น 1 นอร์มอล

$$\text{NaOH มี Mw.} = 40.0 \text{ กรัมต่อลิตร}$$

เตรียมสารละลายน้ำโซเดียมไฮดรอกไซด์ (NaOH) ความเข้มข้น 1 นอร์มอล ปริมาตร 100 มิลลิลิตร ทำการซั่ง NaOH จำนวน 4 กรัม ละลายด้วยน้ำกลั่นจนสารละลายหมด ทำการปรับปริมาตรให้เป็น 100 มิลลิลิตร ด้วยน้ำกลั่น

3. การเตรียมกลีเซอรอล ความเข้มข้น 20 เปอร์เซ็นต์ (v/v)

เตรียมกลีเซอรอล ความเข้มข้น 20 เปอร์เซ็นต์ ปริมาตร 100 มิลลิลิตร จากกลีเซอรอล ความเข้มข้น 80 เปอร์เซ็นต์ ดังนี้

$$\begin{array}{lcl} C_1 V_1 & = & C_2 V_2 \\ 20 \times 100 & = & 80 \times V_2 \\ V_2 & = & 25 \end{array}$$

ดังนั้น ปีเปตคลีเซอรอล ความเข้มข้น 80 เปอร์เซ็นต์ ปริมาตร 25 มิลลิลิตร มาผสมกับน้ำกลั่น และทำการปรับปริมาตรให้ได้ 100 มิลลิลิตร ด้วยน้ำกลั่น

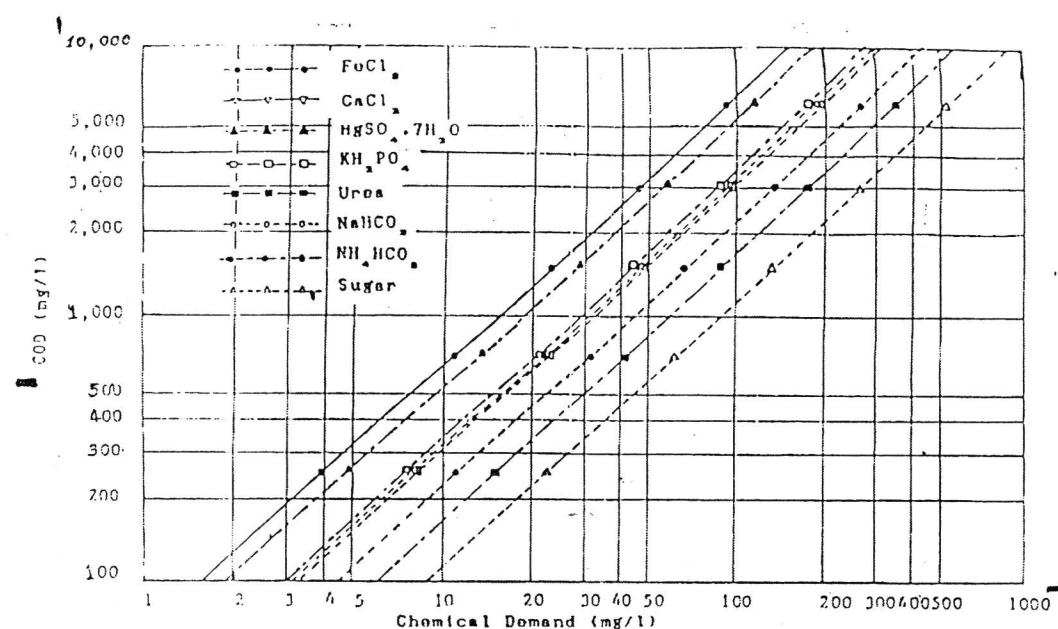
4. การเตรียมเอทานอลความเข้มข้น 70 เปอร์เซ็นต์ (v/v)

เตรียมเอทานอล ความเข้มข้น 70 เปอร์เซ็นต์ ปริมาตร 100 มิลลิลิตร จากเอทานอล ความเข้มข้น 95 เปอร์เซ็นต์ ดังนี้

เทเอทานอล ความเข้มข้น 95 เปอร์เซ็นต์ ปริมาตร 70 มิลลิลิตร ใส่ระบบอุกตัว ผสมกับน้ำกลั่น 30 มิลลิลิตร

5. การเตรียมน้ำเสียสังเคราะห์ที่มีองค์ประกอบของสีอะโฉ

เตรียมได้จากการฟามาตรฐานดังต่อไปนี้



กราฟ มาตรฐานสำหรับใช้เตรียมน้ำเสียสังเคราะห์

Chemical Demand (mg/L) สำหรับ FeCl_2 , CaCl_2 (เส้นทึบ) ค่าที่ได้คูณด้วย 10^{-1}

Chemical Demand (mg/L) สำหรับ NaHCO_3 , NH_4HCO_3 และ Sugar (จุดไข่ปลา)

ค่าที่ได้ต้องคูณด้วย 10

สี direct 0.25 g/L

น้ำเสียสังเคราะห์ที่เตรียมที่ระดับ Chmical Oxygen Demand เท่ากับ 1,000 (mg/L)

การวิเคราะห์ร้อยละการกำจัดสี

$$\frac{\text{ร้อยละการกำจัดสี} = \frac{\text{ค่าการดูดกลืนแสงก่อนนำบัด}}{\text{ค่าการดูดกลืนแสงหลังนำบัด}} \times 100}{\text{ค่าการดูดกลืนแสงก่อนนำบัด}}$$

6. การเตรียมสารเคมีสำหรับวิเคราะห์ค่า Chemical Oxygen Demand (COD)

6.1 สารละลายน้ำอย่างมารยาฐานโพแทสเซียมไนโตรเมต

โพแทสเซียมไนโตรเมตปฐมภูมิ (Primary Standard) 4.1913 กรัม

เมอร์คิวริคซัลเฟต 33.3 กรัม

กรดซัลฟูริกเข้มข้น 137 มิลลิลิตร

อบโพแทสเซียมไนโตรเมตปฐมภูมิในตู้อบที่อุณหภูมิ 105 องศาเซลเซียส เป็นเวลา 2 ชั่วโมง ทิ้งให้เย็นละลายในน้ำกลั่น 500 มิลลิลิตร ค่อยๆ เติมกรดซัลฟูริกเข้มข้น แล้วเติมเมอร์คิวริคซัลเฟตจนให้ละลายกันอย่างคึกปรับปริมาณให้ครบ 1,000 มิลลิลิตร

6.2 ซัลฟูริครีโอเจนต์

ซิลเวอร์ซัลเฟต (AgSO_4) 22 กรัม

กรดซัลฟูริกเข้มข้น 4.0 กิโลกรัม

เติมซิลเวอร์ซัลเฟตในขวดของกรดซัลฟูริกเข้มข้นทิ้งไว้ให้ละลาย 2 วัน

6.3 สารละลายน้ำฟอร์โนอินดิเกตอร์

1,10 – ฟีแนนโตรเลิน โนโนไซเดรต ($\text{C}_{12}\text{H}_8\text{N}_2\text{O}$) 1.485 กรัม

ไอร์ออนซัลเฟตไฮดร๊าต ($\text{FeSO}_4 \cdot 7\text{H}_2\text{O}$) 0.695 กรัม

ละลายน้ำกลั่นปรับปริมาณให้ครบ 1,000 มิลลิลิตร

6.4 สารละลามารยาฐานเฟอร์สแอมโนเนียมซัลเฟต (FAS)

แอมโนเนียมซัลเฟตไฮดร๊าต 39.2 กรัม

กรดซัลฟูริกเข้มข้น 20 มิลลิลิตร

ละลายแอมโนเนียมซัลเฟตไฮดร๊าตในน้ำกลั่นแล้วค่อยๆ เติมกรดซัลฟูริกเข้มข้นทิ้งไว้ให้เย็นปรับปริมาณให้ครบ 1,000 มิลลิลิตร

วิธีการวิเคราะห์ COD (Chemical oxygen demand)

1. ล้างหลอดย่อยสลายและภาชนะด้วยกรดซัลฟูริก 20 เปอร์เซ็นต์ เพื่อป้องกันการปนเปื้อนของสารอินทรีย์
2. เลือกใช้ปริมาตรของตัวอย่างน้ำและสารเคมีที่เหมาะสม
3. นำตัวอย่างน้ำมาใส่ในหลอดย่อยสลาย และเติมสารละลายน้ำไฟฟ์โซเดียมไนโตรเมต
4. ค่อยๆ เทกรดซัลฟูริกเข้าไปจนติดให้หลงกันหลอดเพื่อให้ชั้นของกรดอยู่ภายนอกตัวอย่างน้ำและสารละลายน้ำไฟฟ์โซเดียมไนโตรเมต
5. ปิดฝาหลอดแก้วให้แน่นแล้วคว้าหลอดไปบนไฟฟ้า ครั้งเพื่อให้สารละลายน้ำและสารอินทรีย์ทั้งหมดหลุดลง
6. นำหลอดทดลองนี้ไปบนในตู้อบอุณหภูมิ 150 องศาเซลเซียส เป็นเวลา 2 ชั่วโมง และทิ้งให้เย็นถึงอุณหภูมิห้อง โดยนำมารวบรวมที่ไว้ในตัวหลอดทดลอง
7. เทสารผสมลงในขวดรูปทรงพิเศษ และเติมเฟอร์สแอมโมเนียมซัลเฟต จนถึงจุดหยุดเมื่อสารละลายน้ำและสารอินทรีย์ทั้งหมดหลุดลง
8. ด้วยวิธีการเดียวกันให้อบน้ำกัน (blank) ในปริมาตรเท่ากับปริมาณน้ำตัวอย่างรวมทั้งใช้รีเอเจนท์เดียวกันและไตรีตัดด้วย 0.1 โมลาร์ เฟอร์สแอมโมเนียมซัลเฟต เช่นกัน

การคำนวณ

$$\text{COD (มิลลิกรัม O}_2\text{ต่อ ลิตร)} = [(A - B) \times M \times 8,000] / \text{ปริมาตรน้ำตัวอย่าง (มิลลิลิตร)}$$

โดย A = ปริมาตรของ 0.1 โมลาร์ เฟอร์สแอมโมเนียมซัลเฟต ที่ใช้ในการไตรีตัด (blank) (มิลลิลิตร)

B = ปริมาตรของ 0.1 โมลาร์ เฟอร์สแอมโมเนียมซัลเฟต ที่ใช้ในการไตรีตัดน้ำตัวอย่าง (มิลลิลิตร)

M = โมลาริตีของเฟอร์สแอมโมเนียมซัลเฟต

ภาคผนวก ก

ข้อมูลดิบ

ตารางผนวก 1 ประสิทธิภาพการกำจัดสีอะโซในน้ำเสียสังเคราะห์โดยแบคทีเรียแต่ละไอโซเลตที่ระยะเวลา 8 วัน

ไอโซเลต	ประสิทธิภาพการกำจัดสี (ร้อยละ)			
	วันที่ 2	วันที่ 4	วันที่ 6	วันที่ 8
SP-D1	25.96	25.52	29.66	26.31
SP-D2	16.70	28.03	35.74	25.43
SP-D3	27.41	19.74	11.81	10.52
SP-L1	61.99	83.64	85.20	83.28
SP-L2	25.78	29.22	39.89	28.21
SP-L3	28.03	30.59	34.11	28.25
SP-L4	27.68	25.69	32.75	26.22
SP-L5	39.09	47.73	64.52	60.54
SP-L6	26.75	26.27	32.39	17.94
SP-L7	23.67	18.73	22.38	20.11
SP-M1	30.89	36.89	45.26	50.20
SP-M2	29.00	25.12	29.44	24.37
SP-M3	29.13	21.02	14.19	11.20
SP-M4	30.59	21.77	21.82	21.40
SP-M5	28.78	21.77	18.33	16.54

ตารางผนวก 2 ค่าการคุณค่าเฉลี่ยแสงของน้ำเสียสังเคราะห์ที่ผ่านการบำบัดด้วยเชื้อแบคทีเรีย *Bacillus amyloliquefaciens* SP-L1 ที่มีระดับความเข้มข้นของสีอะโซต่างๆ

ความเข้มข้นสี (มิลลิกรัมต่อลิตร)	ค่าการคุณค่าเฉลี่ยแสงที่ 665 นาโนเมตร			
	วันที่ 0	วันที่ 2	วันที่ 4	วันที่ 6
100	1.72	0.68	0.28	0.19
150	2.35	1.03	0.56	0.41
200	3.44	1.13	0.55	0.47
250	3.99	1.76	0.76	0.60
300	5.21	1.40	1.29	1.28
350	6.11	2.47	1.23	1.12
400	6.82	2.26	0.90	0.73
450	7.48	2.74	1.45	1.26
500	7.87	3.57	2.27	2.18

ตารางผนวก 3 ประสิทธิภาพการกำจัดสีในน้ำเสียสังเคราะห์ที่เติม glucose ที่ความเข้มข้นต่างๆ โดยเชื้อแบคทีเรีย *Bacillus amyloliquefaciens* SP-L1

ความเข้มข้น (ร้อยละ)	การกำจัดสี (ร้อยละ)				
	วันที่ 0	วันที่ 1	วันที่ 2	วันที่ 3	วันที่ 4
Control	0	0	0	0	0
0.5	0	47.16	74.69	92.43	89.19
1.0	0	64.78	87.78	96.75	93.13
1.5	0	69.35	88.30	97.89	94.13
2.0	0	68.80	89.81	97.81	93.49
2.5	0	71.02	87.16	96.91	92.32

ตารางผนวก 4 ประสิทธิภาพการกำจัดสีในน้ำเสียสังเคราะห์ที่เติม sucrose ที่ความเข้มข้น

ต่าง ๆ โดยเชื้อแบคทีเรีย *Bacillus amyloliquefaciens* (SP-L1)

ความเข้มข้น (ร้อยละ)	การกำจัดสี (ร้อยละ)				
	วันที่ 0	วันที่ 1	วันที่ 2	วันที่ 3	วันที่ 4
Control	0	0	0	0	0
0.5	0	55.08	94.69	95.48	95.99
1.0	0	54.50	95.87	96.07	97.16
1.5	0	63.74	96.39	96.64	95.30
2.0	0	66.10	97.99	95.98	98.01
2.5	0	71.46	96.33	96.80	96.08

ตารางผนวก 5 ประสิทธิภาพการกำจัดสีในน้ำเสียสังเคราะห์ที่เติม maltose ที่ความเข้มข้นต่าง ๆ

โดยเชื้อแบคทีเรีย *Bacillus amyloliquefaciens* SP-L1

ความเข้มข้น (ร้อยละ)	การกำจัดสี (ร้อยละ)				
	วันที่ 0	วันที่ 1	วันที่ 2	วันที่ 3	วันที่ 4
Control	0	0	0	0	0
0.5	0	65.34	84.60	90.04	90.32
1.0	0	67.27	80.52	85.26	85.28
1.5	0	63.55	75.65	78.43	77.76
2.0	0	63.38	81.82	92.31	90.11
2.5	0	65.28	84.66	91.25	89.35

ตารางพนวก 6 ประสิทธิภาพการกำจัดสีในน้ำเสียสังเคราะห์ที่เติม starch ที่ความเข้มข้นต่าง ๆ โดย เชื้อแบคทีเรีย *Bacillus amyloliquefaciens* SP-L1

ความเข้มข้น (ร้อยละ)	การกำจัดสี (ร้อยละ)				
	วันที่ 0	วันที่ 1	วันที่ 2	วันที่ 3	วันที่ 4
Control	0	0	0	0	0
0.5	0	34.29	51.85	82.63	74.10
1.0	0	45.23	76.45	96.72	93.79
1.5	0	53.79	87.96	97.71	94.10
2.0	0	47.17	79.44	96.23	94.23
2.5	0	65.28	88.69	92.63	91.24

ตารางพนวก 7 ประสิทธิภาพการกำจัดสีในน้ำเสียสังเคราะห์ที่เติม lactose ที่ความเข้มข้นต่าง ๆ โดย เชื้อแบคทีเรีย *Bacillus amyloliquefaciens* SP-L1

ความเข้มข้น (ร้อยละ)	การกำจัดสี (ร้อยละ)				
	วันที่ 0	วันที่ 1	วันที่ 2	วันที่ 3	วันที่ 4
Control	0	0	0	0	0
0.5	0	55.97	76.91	83.99	87.06
1.0	0	52.80	83.12	86.14	82.39
1.5	0	59.18	85.00	90.33	87.54
2.0	0	65.04	84.29	90.65	88.90
2.5	0	61.13	82.75	91.67	91.59

ตารางพนวก 8 ประสิทธิภาพการกำจัดสีในน้ำเสียสังเคราะห์ที่เติม beef extract ที่ความเข้มข้นต่าง ๆ โดยเชื้อแบคทีเรีย *Bacillus amyloliquefaciens* SP-L1

ความเข้มข้น (ร้อยละ)	การกำจัดสี (ร้อยละ)				
	วันที่ 0	วันที่ 1	วันที่ 2	วันที่ 3	วันที่ 4
Control	0	0	0	0	0
0.5	0	84.04	96.45	97.22	94.53
1.0	0	89.25	97.28	98.75	95.65
1.5	0	94.84	96.62	98.28	92.60
2.0	0	94.98	83.21	99.27	93.96
2.5	0	94.84	97.31	97.93	93.48

ตารางพนวก 9 ประสิทธิภาพการกำจัดสีในน้ำเสียสังเคราะห์ที่เติม peptone ที่ความเข้มข้นต่าง ๆ โดยเชื้อแบคทีเรีย *Bacillus amyloliquefaciens* SP-L1

ความเข้มข้น (ร้อยละ)	การกำจัดสี (ร้อยละ)				
	วันที่ 0	วันที่ 1	วันที่ 2	วันที่ 3	วันที่ 4
Control	0	0	0	0	0
0.5	0	88.43	95.06	95.86	92.26
1.0	0	94.02	96.85	97.58	94.49
1.5	0	94.64	97.56	98.25	94.48
2.0	0	94.86	97.69	98.02	93.98
2.5	0	95.24	98.37	98.43	93.36

ตารางผนวก 10 ประสิทธิภาพการกำจัดสีในน้ำเสียสังเคราะห์ที่เติม yeast extract ที่ความเข้มข้นต่าง ๆ โดยเชื้อแบคทีเรีย *Bacillus amyloliquefaciens* SP-L1

ความเข้มข้น (ร้อยละ)	การกำจัดสี (ร้อยละ)				
	วันที่ 0	วันที่ 1	วันที่ 2	วันที่ 3	วันที่ 4
Control	0	0	0	0	0
0.5	0	91.39	93.82	94.82	93.27
1.0	0	91.84	94.00	94.33	92.45
1.5	0	92.64	93.88	93.28	91.12
2.0	0	91.73	92.49	92.33	89.58
2.5	0	91.87	92.08	91.20	89.26

ตารางผนวก 11 ประสิทธิภาพการกำจัดสีในน้ำเสียสังเคราะห์ที่เติม NH_4Cl ที่ความเข้มข้นต่าง ๆ โดยเชื้อแบคทีเรีย *Bacillus amyloliquefaciens* SP-L1

ความเข้มข้น (ร้อยละ)	การกำจัดสี (ร้อยละ)				
	วันที่ 0	วันที่ 1	วันที่ 2	วันที่ 3	วันที่ 4
Control	0	0	0	0	0
0.5	0	50.88	74.11	88.26	87.46
1.0	0	44.20	60.31	67.61	71.68
1.5	0	38.95	45.85	52.20	58.73
2.0	0	31.56	32.52	40.30	42.71
2.5	0	38.97	36.06	39.00	39.35

ตารางผนวก 12 ประสิทธิภาพการกำจัดสีในน้ำเสียสังเคราะห์ที่มีค่าพีเอชเริ่มต้นที่ระดับต่าง ๆ โดยเชื้อแบคทีเรีย *Bacillus amyloliquefaciens* SP-L1

ความเข้มข้น (ร้อยละ)	การกำจัดสี (ร้อยละ)				
	วันที่ 0	วันที่ 1	วันที่ 2	วันที่ 3	วันที่ 4
Control	0	0	0	0	0
5.0	0	45.81	41.06	55.44	55.72
6.0	0	84.35	86.59	94.55	90.92
7.0	0	93.71	90.36	95.97	93.72
8.0	0	93.43	92.74	97.62	93.99
9.0	0	19.6	59.7	68.49	61.17
10.0	0	0	33.66	62.62	65.73

ตารางผนวก 13 ประสิทธิภาพการกำจัดสีในน้ำเสียสังเคราะห์ที่มีปริมาณเชื้อเริ่มต้นที่ระดับต่าง ๆ โดยเชื้อแบคทีเรีย *Bacillus amyloliquefaciens* SP-L1

ความเข้มข้น (ร้อยละ)	การกำจัดสี (ร้อยละ)				
	วันที่ 0	วันที่ 1	วันที่ 2	วันที่ 3	วันที่ 4
Control (0.0)	0	4.16	5.85	7.21	4.39
1	0	90.51	92.68	95.21	92.68
2.5	0	89.73	93.64	94.86	93.73
5	0	89.81	93.9	96.69	94.86
10	0	90.86	93.56	95.56	95.47



ตารางผนวก 14 ประสิทธิภาพการกำจัดสีในน้ำเสียสังเคราะห์ในสภาวะที่เหมาะสมโดยเชื้อแบคทีเรีย *Bacillus amyloliquefaciens* SP-L1

ความเข้มข้น (ร้อยละ)	การกำจัดสี (ร้อยละ)				
	วันที่ 0	วันที่ 1	วันที่ 2	วันที่ 3	วันที่ 4
Control	0	9.54	8.75	10.34	9.28
1	0	93.72	93.81	92.92	94.6

ตารางผนวก 15 ประสิทธิภาพการกำจัดเօฟซีโอดีในน้ำเสียสังเคราะห์ในสภาวะที่เหมาะสม

ความเข้มข้น (ร้อยละ)	การกำจัดสี (ร้อยละ)				
	วันที่ 0	วันที่ 1	วันที่ 2	วันที่ 3	วันที่ 4
Control	0	0	0	0	0
1	0	26.7	40.0	46.7	50

ตารางผนวก 16 ประสิทธิภาพการกำจัดสีในน้ำเสียจากอุตสาหกรรมการผลิตหน่อช่อมในสภาวะที่เหมาะสมโดยเชื้อแบคทีเรีย *Bacillus amyloliquefaciens* SP-L1

ความเข้มข้น (ร้อยละ)	การกำจัดสี (ร้อยละ)				
	วันที่ 0	วันที่ 1	วันที่ 2	วันที่ 3	วันที่ 4
Control	0	22.22	26.47	15.92	31.66
1	0	35.73	35	50.37	72.96

ตารางผนวก 17 ประสิทธิภาพการกำจัดเอฟซีโอดีในน้ำเสียจากอุตสาหกรรมการผลิตหน่ออ่อนในสภาวะที่เหมาะสมโดยเชื้อแบคทีเรีย *Bacillus amyloliquefaciens* SP-L1

ความเข้มข้น (ร้อยละ)	การกำจัดเอฟซีโอดี (ร้อยละ)				
	วันที่ 0	วันที่ 1	วันที่ 2	วันที่ 3	วันที่ 4
Control	0	0	0	0	0
1	0	10	20	20	25

ตารางผนวก 18 ประสิทธิภาพการกำจัดสีของน้ำเสียจากอุตสาหกรรมการผลิตหน่ออ่อนเมื่อผ่านการบำบัดด้วยเชื้อแบคทีเรีย *Bacillus amyloliquefaciens* SP-L1 ร่วมกับระบบบึงประดิษฐ์

ทรีตเมนต์	การกำจัดสี (ร้อยละ)								
	วันที่ 3	วันที่ 6	วันที่ 9	วันที่ 12	วันที่ 15	วันที่ 18	วันที่ 21	วันที่ 24	วันที่ 27
น้ำเสียเข้า	2.76	2.82	2.70	2.78	2.76	2.00	2.15	2.04	2.08
เดินเชื้อจุลินทรี	1.08	1.31	1.66	1.49	1.84	0.91	0.85	1.54	1.20
control	0.51	0.41	0.18	0.36	0.48	0.50	0.58	0.14	0.32
กอก	0.06	0.20	0.08	0.27	0.19	0.19	0.15	0.08	0.04
แฟก	0.61	0.20	0.47	0.48	0.60	0.48	0.13	0.14	0.05

ตารางผนวก 19 ประสิทธิภาพการกำจัดเอฟซีโอดีของน้ำเสียจากอุตสาหกรรมการผลิตหน่ออ่อนเมื่อผ่านการบำบัดด้วยเชื้อแบคทีเรีย *Bacillus amyloliquefaciens* SP-L1 ร่วมกับระบบบึงประดิษฐ์

ทรีตเมนต์	การกำจัดสี (ร้อยละ)								
	วันที่ 3	วันที่ 6	วันที่ 9	วันที่ 12	วันที่ 15	วันที่ 18	วันที่ 21	วันที่ 24	วันที่ 27
น้ำเสียเข้า	9,600	8,800	8,000	5,600	10,400	10,000	10,400	12,800	11,200
เดินเชื้อจุลินทรี	2,400	2,400	4,800	5,600	9,600	9,600	9,600	11,200	10,400
control	5,600	2,800	4,240	4,800	3,200	6,400	6,400	7,200	7,600
กอก	4,400	4,800	5,600	3,200	8,000	4,800	2,400	5,200	2,400
แฟก	5,600	5,600	4,000	6,400	5,600	3,200	3,200	2,400	8,000

ตารางผนวก 20 ประสิทธิภาพการกำจัดน้ำเสียจากอุตสาหกรรมการผลิตหน่ออ่อนเมื่อผ่านการบำบัดด้วยเชื้อแบคทีเรีย *Bacillus amyloliquefaciens* SP-L1 ร่วมกับระบบบึงประดิษฐ์

ทรีตเมนต์	การกำจัดน้ำเสีย (ร้อยละ)								
	วันที่ 3	วันที่ 6	วันที่ 9	วันที่ 12	วันที่ 15	วันที่ 18	วันที่ 21	วันที่ 24	วันที่ 27
น้ำเสียเข้า	6,150	5,600	5,250	5,420	5,210	5,100	5,700	6,050	6,150
เติมเชื้ออุลิทเรีย์	5,250	3,900	4,600	5,325	5,100	4,950	5,250	5,850	5,850
control	4,500	2,400	3,800	3,600	2,800	4,650	4,650	4,500	4,950
กอก	3,900	3,450	3,200	4,650	5,100	2,700	4,800	2,900	2,200
แฟก	3,600	4,720	4,600	2,900	4,800	4,200	3,900	1,900	3,150

ตารางผนวก 21 ค่าความเป็นกรด – ด่าง ของน้ำเสียจากอุตสาหกรรมการผลิตหน่ออ่อนเมื่อผ่านการบำบัดด้วยเชื้อแบคทีเรีย *Bacillus amyloliquefaciens* SP-L ร่วมกับระบบบึงประดิษฐ์

ทรีตเมนต์	ความเป็นกรด – ด่าง								
	วันที่ 3	วันที่ 6	วันที่ 9	วันที่ 12	วันที่ 15	วันที่ 18	วันที่ 21	วันที่ 24	วันที่ 27
น้ำเสียเข้า	8.00	8.00	8.00	8.00	8.00	8.00	8.00	8.00	8.00
เติมเชื้ออุลิทเรีย์	8.01	7.86	7.97	7.54	7.33	7.83	7.97	7.80	7.91
control	6.74	6.89	7.70	7.77	7.90	7.83	7.81	7.83	7.88
กอก	7.04	7.42	7.63	7.43	7.43	7.90	7.95	7.92	7.77
แฟก	6.85	7.15	7.53	7.48	7.86	7.79	7.83	7.85	7.87

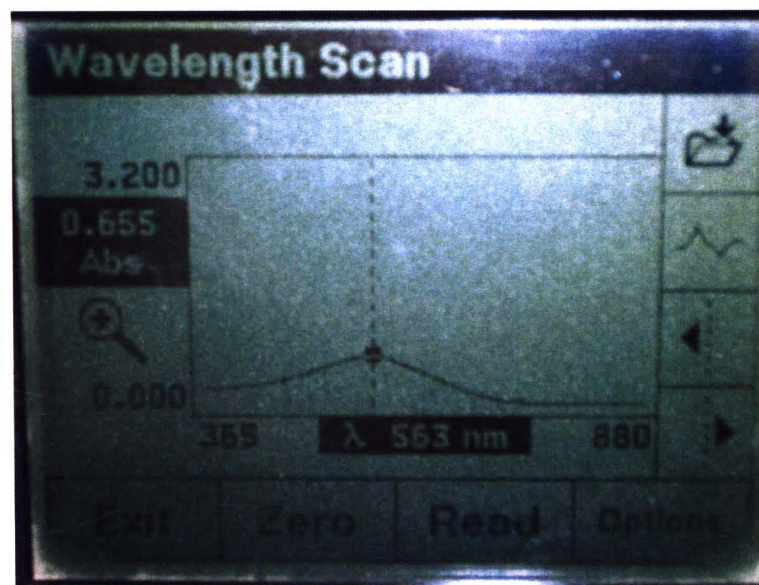
ตารางผนวก 22 ค่าของแข็งทั้งหมดของน้ำเสียจากอุตสาหกรรมการผลิตหน่ออ่อนเมื่อผ่านการบำบัดด้วยเชื้อแบคทีเรีย *Bacillus amyloliquefaciens* SP-L ร่วมกับระบบบึงประดิษฐ์

ทริตรement	ของแข็งทั้งหมด (มิลลิกรัม/ลิตร)								
	วันที่ 3	วันที่ 6	วันที่ 9	วันที่ 12	วันที่ 15	วันที่ 18	วันที่ 21	วันที่ 24	วันที่ 27
น้ำเสียเข้า	13,210	11,990	6,780	4,320	4,940	4,700	4,190	18,310	16,240
เดินเรือจุลินทรี	4,020	8,740	9,130	16,815	14,250	10,740	15,860	20,355	9,685
control	5,215	4,620	6,330	5,035	5,520	5,940	4,650	4,995	5,420
กอก	4,635	2,515	4,895	4,945	5,030	5,025	4,795	5,175	5,445
แฟก	5,450	7,015	4,970	4,910	5,490	5,320	5,195	4,965	5,570

ตารางผนวก 23 ค่าของแข็งแขวนลอยทั้งหมดของน้ำเสียจากอุตสาหกรรมการผลิตหน่ออ่อนเมื่อผ่านการบำบัดด้วยเชื้อแบคทีเรีย *Bacillus amyloliquefaciens* SP-L1 ร่วมกับระบบบึงประดิษฐ์

ทริตรement	ของแข็งแขวนลอยทั้งหมด (มิลลิกรัม/ลิตร)								
	วันที่ 3	วันที่ 6	วันที่ 9	วันที่ 12	วันที่ 15	วันที่ 18	วันที่ 21	วันที่ 24	วันที่ 27
น้ำเสียเข้า	1,620	1,467	1,667	320	620	550	585	520	930
เดินเรือจุลินทรี	320	1,200	3,655	2,750	920	2,350	880	610	3,840
con	1,150	890	1,120	1,110	1,090	1,020	850	250	620
กอก	740	810	1,520	1,200	370	990	290	220	290
แฟก	1,460	1,025	1,040	840	480	1,320	640	710	550

ภาคผนวก ง
กราฟแสดงค่าการดูดกลืนแสงสูงสุดของน้ำเสีย



ภาพนิว 1 ค่าการคุณลักษณะสูงสุดของน้ำเสียสังเคราะห์ที่มีสีอะโซเป็นองค์ประกอบ



ภาพนิว 2 ค่าการคุณลักษณะสูงสุดของน้ำเสียจากอุตสาหกรรมการผลิตมือยื่น ดำเนล
ทุ่งโี้ง อำเภอเมือง จังหวัดแพร่

ភាគុណវក ១
ប្រវត្តិផ្សេវជាយ

ประวัติผู้วิจัย

ชื่อ-สกุล	นางสาวสุภาร แป้นสุวรรณ*	
เกิดเมื่อ	19 มิถุนายน 2527	
ประวัติการศึกษา	พ.ศ. 2540 นัชยมศึกษาตอนปลาย โรงเรียนสิงหนุรี จังหวัดสิงหนุรี พ.ศ. 2546 ปริญญาตรี สาขาเทคโนโลยีหลังการเก็บเกี่ยว มหาวิทยาลัยแม่โจ้ จังหวัดเชียงใหม่	
ประวัติการทำงาน	พ.ศ. 2550 - 2550	หัวหน้างานฝ่ายควบคุมคุณภาพ บริษัท รอยัลธุตสาหกรรมอาหารไทย จำกัด จังหวัดเชียงใหม่
	พ.ศ. 2551 - 2551	ผู้ช่วยนักวิจัย โครงการอันเนื่องมาจากพระราชดำริ จังหวัดเชียงใหม่



